

钟荣玉,段新旺,牛海涛.一种新的皮肤型狼疮小鼠模型的鉴定[J].中国实验动物学报,2019,27(2):187-192.

Zhong RY, Duan XW, Niu HT. Identification of a new mouse model of cutaneous lupus erythematosus[J]. Acta Lab Anim Sci Sin, 2019, 27(2): 187-192.

Doi:10.3969/j.issn.1005-4847.2019.02.010

一种皮肤型狼疮小鼠模型的鉴定

钟荣玉¹,段新旺^{1*},牛海涛^{2*}

(1. 南昌大学第二附属医院 风湿免疫科,南昌 330006; 2. 国家卫生健康委员会人类疾病比较医学重点实验室,中国医学科学院医学实验动物研究所,国家中医药管理局,北京 100021)

【摘要】目的 通过对老龄系统性红斑狼疮小鼠(TC)皮肤症状的观察和鉴定,探讨其是否可以作为一种研究皮肤型狼疮的小鼠模型。**方法** 观察TC小鼠出现皮肤症状的年龄,对比同龄小鼠与C57BL/6小鼠的皮肤症状,ELISA法检测小鼠血清抗dsDNA抗体及抗ANA抗体,HE染色检测小鼠皮肤病理学症状。结果 2/3的TC小鼠出现毛发脱落、皮肤溃烂等症状,其病变最早发生于40周龄,皮肤病变的狼疮小鼠血清抗dsDNA抗体和抗ANA抗体滴度明显高于C57BL/6小鼠($P < 0.05$);HE染色结果显示狼疮小鼠角质层缺失,上皮层连续性中断,真皮层大量淋巴细胞浸润。**结论** 狼疮小鼠在40周后会出现皮肤病变,显示该小鼠可作为一种研究慢性皮肤型狼疮的疾病模型。

【关键词】 皮肤型狼疮;系统性红斑狼疮;抗dsDNA抗体;抗ANA抗体;小鼠

【中图分类号】 Q95-33 **【文献标识码】** A **【文章编号】** 1005-4847(2019)02-0187-06

Identification of a new mouse model of cutaneous lupus erythematosus

ZHONG Rongyu¹, DUAN Xinwang^{1*}, NIU Haitao^{2*}

(1. Department of Rheumatology, the Second Affiliated Hospital of Nanchang University, Nanchang 330006, China.

2. NHC Key Laboratory of Human Disease Comparative Medicine, the Institute of Laboratory Animal Science, CAMS & PUMC, Key Laboratory of Human Disease Animal Models, State Administration of Traditional Chinese Medicine, Beijing 100021)

Corresponding authors: DUAN Xinwang. E-mail:13970085678@163.com; NIU Haitao. E-mail:niuhaitao@cnillas.org

[Abstract] **Objective** To observe and identify the skin alterations of aged TC mice with systemic lupus erythematosus (SLE), and to explore if they can be used as an animal model for studying cutaneous lupus erythematosus.

Methods To determine the age of TC mice when skin changes start to occur, and to compare the skin alterations between C57BL/6 and TC mice at the same age. Serum levels of anti-double-stranded (ds) DNA antibodies and anti-nuclear antibodies (ANAs) were detected by ELISA. Pathological changes in the mouse skin were detected by hematoxylin and eosin (HE) staining. **Results** Two-thirds of TC mice developed hair loss and skin ulceration. The lesions first occurred at 40 weeks of age. Serum titers of anti-dsDNA and anti-ANA antibodies in TC mice with skin lesions were significantly higher than those of C57BL/6 mice ($P < 0.05$). Pathological examination observed loss of stratum corneum, interruption in the epithelial layer, and extensive lymphocyte infiltration in the dermid of SLE mice. **Conclusion** Skin lesions occur in SLE-prone TC mice after 40 weeks of age, suggesting that aged TC mice may serve as a useful animal model for studies of chronic cutaneous lupus erythematosus.

[基金项目]国家重点研发计划项目(2017YFA0105204);江西省教育厅社会发展领域重大项目(GJJ150047)。

Funded by National Key R&D Program of China (2017YFA0105204) and the Project of Jiangxi Provincial Department of Education (GJJ150047).

[作者简介]钟荣玉(1992—),女,硕士研究生,专业:内科学-风湿免疫学方向。Email:18070363757@163.com

[通信作者]段新旺(1972—),男,主任医师,专业:内科学-风湿免疫学方向。Email:13970085678@163.com;牛海涛(1970—),男,研究员,专业:免疫学。Email:niuhaitao@cnillas.org *共同通信作者

[Keywords] cutaneous lupus erythematosus; systemic lupus erythematosus; anti-dsDNA antibody; anti-ANA

antibody; mice

Conflicts of Interest: The authors declare no conflict of interest.

系统性红斑狼疮(systemic lupus erythematosus, SLE,以下简称狼疮)是一种累及全身多脏器的自身免疫性结缔组织病,发病机制尚不明确,环境因素的暴露^[1]、激素水平紊乱^[2]和感染等都是潜在的致病因素。狼疮患者常出现抗核抗体水平的升高,抗核抗体包括抗 sm 抗体、抗 SS-A 抗体和抗 Scl-70 抗体等,各抗体在不同自身免疫系统疾病中发挥着不同的作用^[3]。而抗 dsDNA 抗体是狼疮疾病活动性的指标^[4],与狼疮肾炎有着密切关系,是临床诊断及治疗效果观察的一项重要指标。

皮肤病变在狼疮患者中,是继肾受累外,较为多见的病变部位^[5]。年轻女性狼疮患者常见皮肤症状,表现为特异性皮损如蝶形红斑^[6]、盘状红斑,非特异皮损光敏感、口腔溃疡、脱发、皮肤血管炎等。关于狼疮皮肤病变的原因,有研究认为可能和紫外线暴露^[7]、淋巴细胞、炎症因子、免疫复合物等因素有关^[8],但具体机制未清,其主要原因在于目前尚未有很好的皮肤型狼疮动物模型加以研究。

TC 小鼠是由 C57BL/6 小鼠与狼疮 NZM2410 小鼠多代杂交后建立的、同时携带三种狼疮易感基因簇(Sle1/Sle2/Sle3)的纯合遗传性自发狼疮小鼠,即 B6.NZMSle1/2/3 小鼠(简称 TC 小鼠),是一种以 C57BL/6 为背景的遗传性狼疮小鼠。该小鼠能够充分模拟人类系统性红斑狼疮的疾病表征,表现出升高的抗 dsDNA 抗体、抗 ANA 抗体和狼疮肾炎等典型狼疮症状^[9]。本研究通过长期观察,发现该小鼠从 40 周龄开始出现皮肤病变,血清抗体检测及皮肤组化结果显示,该小鼠可作为研究慢性皮肤型狼疮发病机理的动物模型。

1 材料与方法

1.1 材料

1.1.1 实验动物

TC 小鼠为美国佛罗里达大学 Morel Laurence 教授所赠送。C57BL/6 小鼠购自北京华阜康生物科技有限公司[SCXK(京)2014-0004],饲养在中国医学科学院医学实验动物研究所 SPF 动物房,所有实验操作在中国医学科学院医学实验动物研究所完成[SYXK(京)2015-0035],实验经中国医学科学院医学实验动物研究所伦理委员会审批

(NHT17002)。

1.1.2 试剂和材料

小鼠抗 ANA 抗体 ELISA 检测试剂盒购自 ADI 公司;标记抗体 Goat Anti-Mouse IgG 购自 Southern Biotech 公司;酶底物显色剂 phosphatase substrate、包被抗原 dsDNA 及 O.C.T 冰冻组织包埋胶购自 Sigma 公司;17β 雌二醇缓释片(1.5 mg/60 d)购自美国 IRA 公司;苏木素、伊红染色液购自北京盈利精化工有限公司;乙醇、二甲苯溶液购自国药集团化学试剂有限公司。

1.2 方法

1.2.1 观察和对比小鼠皮肤病变情况

观察老龄 TC 小鼠皮肤受损状况。将 17β 雌二醇缓释片植入 8 周的雌性 TC 小鼠皮下,观察记录出现皮肤症状的时间。将有皮肤症状的小鼠进行固定,分别暴露颈部、背部、耳廓部位皮肤,用软尺测量并计算皮损部位面积,用相机拍照。

1.2.2 血清抗 ANA 抗体及抗 dsDNA 抗体检测

采用脸颊采血法,收集 40 周龄以上雌性 TC 鼠与同龄 C57BL/6 小鼠的血液 50 μL,室温静置 1 h,9000 r/min 离心 10 min,取上清。ELISA 法检测血清相应抗体。

1.2.3 皮肤 HE 染色

取老龄 TC 小鼠病变部位皮肤,用 O.C.T 胶进行包埋,放置于-20℃冰箱保存。取 6 μm 冰冻切片进行 HE 染色,具体步骤:无水乙醇固定后苏木精液染色 2 min,流水洗净,盐酸乙醇(100 mL 70% 乙醇 + 0.5 mL 浓盐酸)脱去多余染色剂,再进行伊红染色,并经过 80% 乙醇、95% 乙醇和 100% 无水乙醇脱水,二甲苯透明化切片,最后中性树胶封片。

1.3 数据分析及统计方法

血清抗体检测数据采用 GraphPad Prism 6.0 软件经行分析,实验数据采用平均数±标准差($\bar{x} \pm s$)进行 t 检验。病理切片采用双盲法由三位病理科医生进行阅片。所有数据均以 $P < 0.05$ 标准为显著性差异。

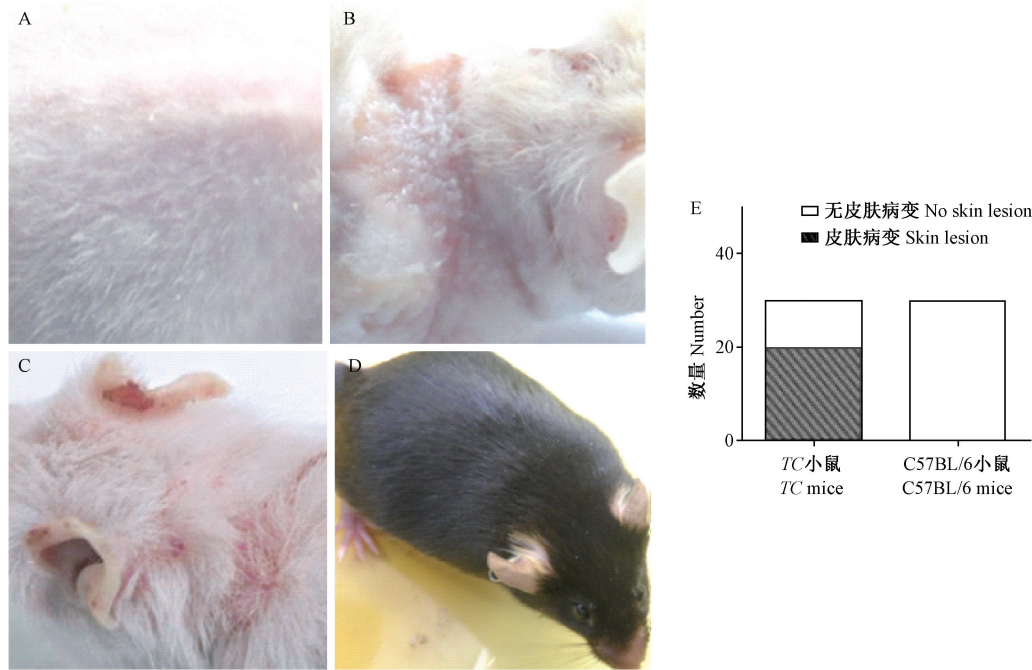
2 结果

2.1 TC 小鼠出现皮肤病变症状

经过对比发现,TC 小鼠皮肤受累症状表现为被

覆毛发脱落,主要见于背部(图 1A);颈部皮肤溃疡(图 1B);耳廓部皮肤溃烂(图 1C)。而同龄 C57BL/6 小鼠则无皮肤病变表现(图 1D)。经统计结果发现,66.6%的老龄 TC 小鼠会出现不同程度的皮肤受

累症状,而同龄的 C57BL/6 小鼠则无皮肤病变(图 1E)。TC 小鼠出现典型的皮肤受损症状,与部分狼疮患者出现皮肤受累症状相符合。(如图 1)



注:A.TC 小鼠背部脱毛;B.TC 小鼠颈部;C.TC 小鼠耳廓部;D.同龄 C57BL/6 小鼠皮肤;E.TC 小鼠和 C57BL/6 小鼠数量及出现皮肤病变小鼠所占比例,阴影部位表示皮肤病变 TC 小鼠数目($n=30$)。

图 1 同龄 TC 和 C57BL/6 小鼠皮肤病变症状及出现皮肤受累的小鼠所占比例

Note. A. TC mouse back hair loss. B. TC mouse neck. C. TC mouse auricle. D. Skin of the same age C57BL/6 mice.

E. Number of TC mice and C57BL/6 mice and the percentage of mice with skin lesions. ($n=30$)

Figure 1 Proportion of skin lesions and skin involvement in the same age TC and C57BL/6 mice

2.2 年龄在 TC 小鼠皮肤病变中发挥重要作用

TC 小鼠的皮肤病变症状随着周龄的增大而逐渐加重。在 38 周前未发现皮肤受损情况,40 周开始出现被覆毛发脱落,并且随着周龄增大,更多小鼠出现皮肤受累症状,已出现皮肤受损的小鼠则症状逐渐加重,表现为弥漫性脱毛,甚至发展为溃烂,白色粘液样物质渗出,症状严重者可累及眼球。随时间变化 TC 小鼠皮肤受累症状如图所示(图 2)。结果显示,随着年龄的增长,皮肤受累的 TC 小鼠数量逐渐增加,皮损面积逐渐增大,症状逐渐加重,表明大部分 TC 小鼠在老龄出现皮肤症状,而同龄 C57BL/6 小鼠则无皮肤症状。

2.3 皮肤病变的老龄 TC 小鼠均表现为血清抗 ANA 抗体及抗 dsDNA 抗体阳性

两组小鼠血清抗 dsDNA 抗体检测结果如图 3 所示:TC 小鼠血清抗 dsDNA 抗体 OD 值明显升高,C57BL/6 小鼠抗 dsDNA 抗体(anti-double-stranded

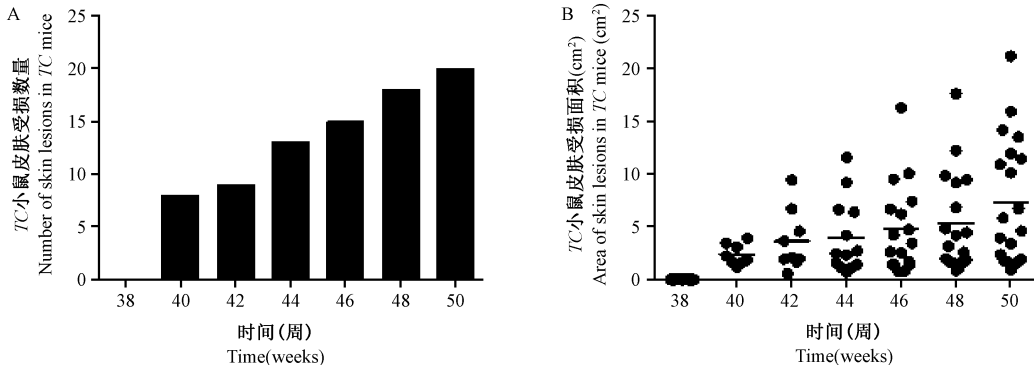
(ds) DNA antibodies) 则全部为阴性(图 3 A)。老龄 TC 小鼠血清抗 ANA 抗体(anti-nuclear antibodies) 明显升高高于同龄 C57BL/6 小鼠(图 3B),差异具有统计学意义(图 3)。TC 小鼠的血清抗 dsDNA 和抗 ANA 抗体较 C57BL/6 小鼠明显升高且具有显著差异,说明 TC 小鼠是典型的狼疮疾病小鼠。

2.4 TC 小鼠的皮肤病变部位有大量淋巴细胞浸润

小鼠皮炎部位皮肤冰冻切片 HE 染色结果显示:TC 鼠皮肤角质层缺失,上皮层连续性中断(图 4 A),真皮层大量淋巴细胞浸润,毛囊减少乃至消失(图 4B)。而 C57BL/6 小鼠角质层及上皮层细胞完整(图 4C)。为了探究老龄 TC 小鼠的皮肤症状属于急性还是慢病变,我们用 17 β 雌二醇缓释片处理 8 周的雌性 TC 小鼠,4 周后即可出现皮肤症状,其皮肤染色结果显示上皮层完全缺失,但未见明显淋巴细胞浸润(图 4D)。老龄 TC 小鼠皮肤真皮层有

大量淋巴细胞浸润,而 17β 雌二醇处理的TC小鼠皮肤真皮层淋巴细胞明显减少,两种皮肤病变呈现明显差异,且都与同龄C57BL/6小鼠有明显不同(如图4),表明老龄TC小鼠的皮肤病变较符合慢性

皮肤病变。老龄TC小鼠血清自身抗体水平升高,皮肤大量淋巴细胞浸润,说明皮肤病变和自身免疫存在紧密联系。

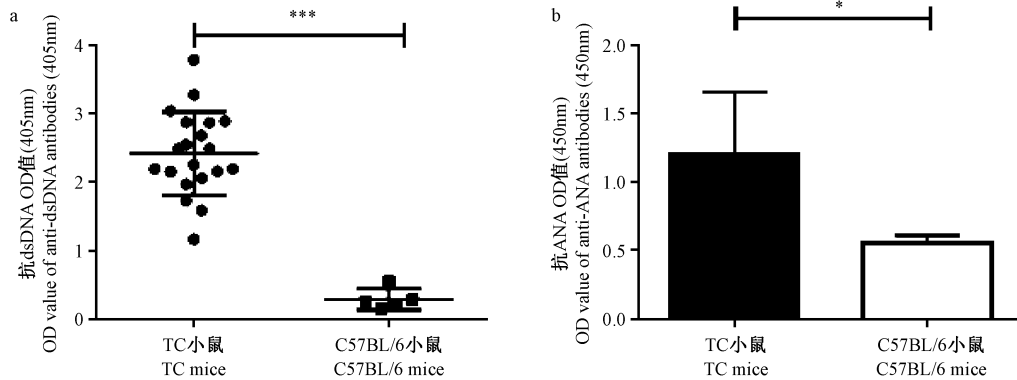


注:A.皮肤病变的TC小鼠数目随着周龄增加而增多($n=20$);B. TC小鼠皮肤受损面积随着周龄增加而增大($n=20$)。

图2 皮肤病变的TC小鼠数目增多及皮肤损伤面积逐渐增大

Note. A. Number of the TC mice with skin lesions was increased with increasing age ($n=20$). B. Area of skin lesions in the TC mice was increased with increasing age ($n=20$).

Figure 2 Increased number of TC mice with skin lesions and increased skin lesion area



注:a.C57BL/6小鼠与TC小鼠的抗dsDNA OD值对比($n=20$),*** $P<0.05$ 。b.C57BL/6小鼠与TC小鼠的抗ANA OD值对比($n=20$),* $P<0.05$ 。

图3 TC小鼠与C57BL/6小鼠抗dsDNA与抗ANA抗体浓度

Note. A. Comparison of the OD values of anti-ANA antibodies between C57BL/6 and TC mice ($n=20$). *** $P<0.05$.

B. Comparison of the OD values of anti-dsDNA antibodies between C57BL/6 and TC mice ($n=20$). * $P<0.05$.

Figure 3 Concentrations of Anti-dsDNA and anti-ANA antibodies of the C57BL/6 and TC mice

状细胞作用下^[12],B细胞介导的炎症因子IL-6和IFN- γ 表达升高,影响了B细胞活化,过度活化的B细胞和树突状细胞相互作用,分化为浆细胞并分泌自身抗体继而引起各系统和脏器的损伤^[13]。所以,TC小鼠作为一种遗传狼疮动物模型,能较好的模拟狼疮的发病症状并用作皮肤型狼疮发病机制的探讨。

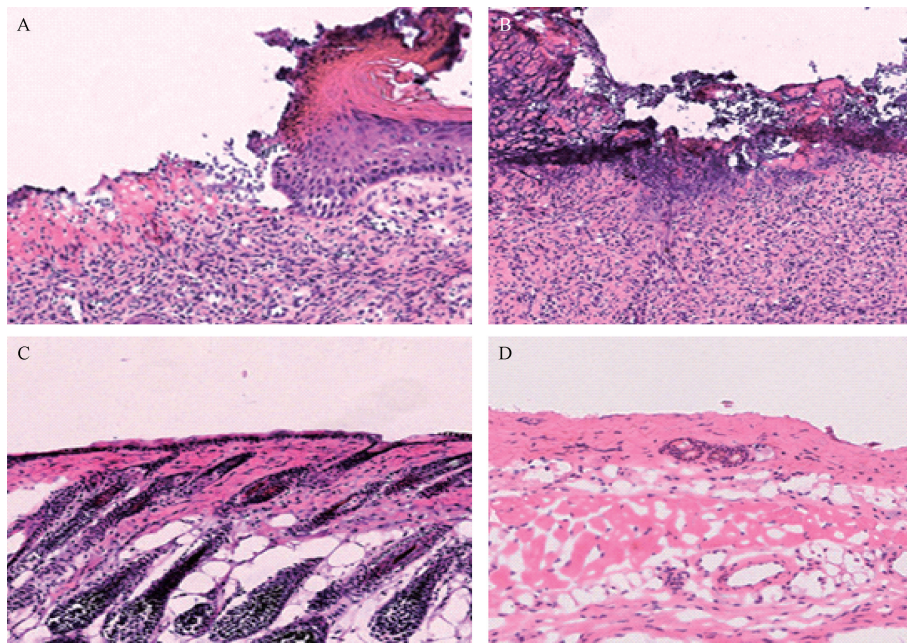
3.2 狼疮皮肤病变与自身免疫密切相关

关于皮肤型狼疮发病机制的研究有很多。有文献指出,角质层释放促炎因子,作用于上皮细胞

3 讨论

3.1 TC小鼠是一种典型的用于研究狼疮发病机制的小鼠模型

系统性红斑狼疮是一种免疫紊乱的疾病,主要特点是自身抗体水平的升高。其常见的抗体为抗核抗体^[10],同时抗dsDNA抗体是狼疮的特异性和疾病严重程度标志^[11],在狼疮的诊断和治疗中发挥重要作用。在TC小鼠的研究报道中指出,在树突



注: A. TC 小鼠上皮层中断; B. TC 小鼠真皮层大量淋巴细胞浸润,毛囊减少乃至消失; C. C57BL/6 小鼠皮肤; D. 17 β 雌二醇处理的年轻雌性 TC 小鼠皮肤上皮层缺失。

图 4 TC 小鼠与 C57BL/6 小鼠皮肤的病理改变

Note. A. Disruption of the epithelium in a TC mouse. B. Extensive lymphocyte infiltration in the dermis of a TC mouse. C. The skin tissue of a C57BL/6 mouse. D. Loss of skin epithelial layer in a 17 β -estradiol-treated TC mouse.

Figure 4 Pathological changes of the skin in TC and C57BL/6 mice

基底层,发生抗原抗体反应并促使角质细胞的凋亡,并释放免疫刺激的内源性核酸,通过相关炎症因子激活体内先天性免疫应答^[14],进而介导狼疮皮肤病病变的形成。将狼疮患者血清中的抗 dsDNA IgG 抗体提取出后注射到 C57BL/6 小鼠皮下,引起了皮肤的炎症反应,证实狼疮血清抗 dsDNA IgG 与皮肤狼疮有着紧密关系^[15]。IL-1 也可能是狼疮皮肤病变的重要促炎因子^[16]。免疫复合物沉积在皮肤也是导致狼疮皮肤受损的原因^[17]。TH17 参与了狼疮皮肤病变^[18]。虽然自身抗体在狼疮中扮演着重要作用,但其在皮肤型狼疮发病机制中的作用目前尚不明确。本实验用狼疮小鼠皮肤病变部位进行病理检测,发现角质层的缺失及大量淋巴细胞浸润,进一步证实狼疮皮肤病变与自身免疫密切相关。

3.3 老龄 TC 小鼠是良好的慢性皮肤型狼疮的疾病模型

系统性红斑狼疮患者常有皮肤的受累,表现为颧骨两侧蝶形红斑、盘状红斑,并伴有脱发和光敏感,但发病原因未明,其主要原因在于目前尚未良好的模型来研究皮肤型红斑狼疮。皮肤型红斑狼疮根据临床表现及病程分为急性、亚急性和慢性皮

肤型红斑狼疮。急性皮肤型红斑狼疮可能仅在多脏器受累前几周或者数月发生,常为短暂的和非瘢痕性的皮疹^[19]。用 17 β 雌二醇处理年轻雌性 TC 小鼠 4 周后即可诱导急性皮肤症状的发生,此时检测的 TC 小鼠血清抗 dsDNA 及抗 ANA 抗体均为阴性,符合急性皮肤型狼疮的临床表现。其皮肤病理结果显示上皮层缺失,但淋巴细胞浸润明显减少,发病机制有待进一步研究。

慢性皮肤型红斑狼疮好发于 40 ~ 50 岁的中老年女性,进展到最后出现不可逆性瘢痕脱发。本研究通过长期观察对比和记录 TC 鼠皮肤受损情况,我们发现 40 周龄的 TC 小鼠中有 66.6% 出现典型的不可逆性皮肤受累症状,表现为颈部、背部、耳廓部的皮肤毛发脱落甚至溃烂,且随着周龄的增加病变区域逐渐增大,HE 染色显示毛囊的减少甚至消失,这在既往相关研究中未曾报道过,而检测老龄 TC 小鼠血清抗 dsDNA 及抗 ANA 抗体为阳性,说明老龄 TC 小鼠是典型的系统性红斑狼疮小鼠,因此符合慢性皮肤型红斑狼疮的临床表现。此外,相关文献指出,TC 小鼠 20 周龄即可产生高浓度的抗 dsDNA 抗体^[20],7 个月左右可进展为严重的狼疮性

肾炎^[21],但未有更大周龄的TC小鼠报道。我们推测,28周龄左右的TC小鼠由于表现出严重的狼疮性肾炎症状,可以满足对狼疮自身抗体、狼疮肾炎及淋巴细胞之间相互关系研究的需求,故多数研究无必要持续观察至40周,所以未发现TC小鼠有皮肤受累症状。本研究发现老龄的TC小鼠有脱毛和皮肤溃烂的症状,检测其体内抗dsDNA抗体和抗ANA抗体升高,证实该鼠为典型的狼疮疾病小鼠,通过皮肤病理检查结果,发现溃烂皮肤部位真皮层大量淋巴细胞浸润,表明皮肤病变的TC小鼠与自身免疫有着密切关系。综上,老龄TC小鼠作为典型的狼疮疾病小鼠,可作为一种新的慢性皮肤型红斑狼疮小鼠模型。

参考文献(References)

- [1] Parks CG, de Souza Espindola Santos A, Barbhaiya M, et al. Understanding the role of environmental factors in the development of systemic lupus erythematosus[J]. Best Pract Res Clin Rheumatol, 2017, 31(3):306–320.
- [2] Kaliterna DM, Perković D, Radić M, et al. Sex hormones, immune disorders, and inflammatory rheumatic diseases [J]. Reumatizam, 2014, 61(1):17–22.
- [3] Scopelitis E, Biundo JJ Jr, Alspaugh MA. Anti-SS-A antibody and other antinuclear in systemic lupus erythematosus [J]. Arthritis Rheum, 2010, 23(3):287–293.
- [4] Gheita TA, Abaza NM, Hammam N, et al. Anti-dsDNA titre in female systemic lupus erythematosus patients: relation to disease manifestations, damage and antiphospholipid antibodies [J]. Lupus, 2018, 27(7):1081–1087.
- [5] Sticherling M. Cutaneous lupus erythematosus and skin manifestations in systemic lupus [J]. Z Rheumatol, 2013, 72(5):429–435.
- [6] Kolyvanos Naumann U, Käser L, Vetter W. Systemic lupus erythematoe. Main symptoms: fatigue, arthralgias, butterfly erythemas[J]. Praxis (Bern 1994), 2004, 93(46):1897–1903,1904.
- [7] Bijl M, Kallenberg CG. Ultraviolet light and cutaneous lupus[J]. Lupus, 2006, 15(11):724–727.
- [8] Deng GM, Tsoko GC. Pathogenesis and targeted treatment of skin injury in SLE [J]. Nat Rev Rheumatol, 2015, 11(11):633–669.
- [9] 邹桂香,段新旺,牛海涛. 系统性红斑狼疮小鼠肠道微生物与抗dsDNA抗体水平的相关性[J]. 中国实验动物学报, 2018(2):195–200.
- Zou GX, Duan XW, Niu HT. Correlation between gut microbiota and anti-dsDNA antibody in the mouse model of systemic lupus erythematosus[J]. Acta Lab Anim Sci Sin, 2018(2):195–200.
- [10] Patsinakids N, Gambichler T, Lahner N, et al. Cutaneous characteristics and association with antinuclear antibodies in 402 patients with different subtypes of erythematosus[J]. J Eur Acad Dermatol Venereol, 2016, 30(12):2097–2140.
- [11] Alba P, Bento L, Cuadado MJ, et al. Anti-Sm antibodies, and the lupus anticoagulant: significant factors associated with lupus nephritis[J]. Ann Rheum Dis, 2003, 62(6):556–560.
- [12] Choi SC, Xu Z, Li W, et al. Relative contributions of B cell and dendrites cell from lupus-prone mice to CD4+ cell polarization [J]. J Immunol, 2018, 200(9):3087–3099.
- [13] Sang A, Zheng YY, Yin Y, et al. Dysregulated cytokine production by dendritic cells modulates B cell responses in the NZM2410 mouse model of lupus [J]. PLoS One, 2014, 9(8):e102151.
- [14] Scholtissek B, Zahn S, Maier J, et al. Immunostimulatory endogenous nucleic acids drive the lesional inflammation in the cutaneous lupus erythematosus[J]. J Invest Dermatol, 2017, 137(7):1484–1492.
- [15] Deng GM, Liu L, Kyttaris VC, et al. Lupus serum IgG induces skin inflammation through the TNFR1 signaling pathway [J]. J Immunol, 2010, 184(12):7154–7161.
- [16] Maczynska I, Millo B, Ratajczak-Stefanska V, et al. Proinflammatory cytokine (IL-1 β , IL-6, IL-12, IL-8 and TNF- α) levels in sera of patients with subacute cutaneous lupus erythematosus(SCLE) [J]. Immunol Lett, 2006, 102(1):79–82.
- [17] Hunziker T, Mollnes TE, Misiano G, et al. Complement in chronic cutaneous lupus erythematosus[J]. Br J Dermatol, 2010, 118(1):131–133.
- [18] Tanasescu C, Balanescu E, Balanescu P, et al. IL17 in cutaneous lupus erythematosus[J]. Eur J Intern Med, 2010, 21(3):202–207.
- [19] Walling HW, Sontheimer RD. Cutaneous lupus erythematosus: issues in diagnosis and treatment [J]. Am J Clin Dermatol, 2009, 10(6):365–381.
- [20] Khass M, Schelonka RL, Liu CR, et al. Alterations in B cell development, CDR-H3 repertoire and dsDNA-binding antibody production among C57BL/6 ΔD-iD mice congenic for the lupus susceptibility loci sle1, sle2 or sle3[J]. Autoimmunity, 2017, 50(1):42–51.
- [21] Niu H, sobel ES, Morel L. Defective B cell response to T-dependent immunization in lupus-prone mice [J]. Eur J Immunol, 2010, 38(11):3028–3040.

[收稿日期] 2018-10-23